

## 河川を越上する高潮

神戸大学工学部 正員 神田 徹  
神戸大学大学院 学生員 ○浜村吉昭

1. まえがき 本研究は、河川を越上する高潮についてその基本的な越上特性を、主に水位の変動を中心にして明らかにしようとしたものである。このために、高潮とはとんど同じ越上特性をもつと考えられる長周期性の連続波を対象として、理論的検討を行った。

2. 基礎方程式および境界条件 一次元非定常流の方程式において、慣性項を省略した次の運動方程式および連続式を用いる。

$$\partial R / \partial x = i - n^2 \cdot U / U_0 / R^{1/2} \quad (1), \quad \partial R / \partial t + \partial (R \cdot U) / \partial x = 0 \quad (2)$$

等流で流れる河川を長周期性の波が越る場合を考え(図-1)，境界条件として河川下流端(河口)および無限上流地点の水深を次のように与える。

$$x = 0 \text{において } R = \frac{A_0}{2}(1 - \cos \frac{\pi}{T}t) + R_0, \quad x = \infty \text{において } R = R_0. \quad (3)$$

ここで、 $A_0$ : 河口における波の振幅、 $T$ : 波の周期、 $R_0$ : 初期等流水深

3. 近似解とその構造 上式に対する解析解として、第1次近似解( $A_0/2$ )および第2次近似解( $(A_0^2/4R_0)$ )が次のように得られる。

$$R = R_0 + \frac{A_0}{2} y_1 + \frac{A_0^2}{4R_0} y_2 \equiv R_0 + A_1 H \quad (4)$$

$$y_1 = \exp\left(\frac{\omega}{2u}x\right) - \exp\left\{\left(\frac{\omega}{2u} - P_1\right)x\right\} \cos\left(\delta t - \theta_1 x\right) \quad (5)$$

$$\begin{aligned} y_2 &= \frac{A_0^2}{4R_0} \left[ \exp\left(\frac{\omega}{2u}x\right) - \exp\left(\frac{\omega}{2u}x\right) + D_0 \left[ \exp\left(\frac{\omega}{2u}x\right) - \exp\left\{2\left(\frac{\omega}{2u} - P_1\right)x\right\} \right] \right. \\ &\quad + D_1 \left[ \exp\left\{\frac{\omega}{2u}x\right\} - \exp\left\{\left(\frac{\omega}{2u} - P_1\right)x\right\} \right] \cos\left(\delta t - \theta_2 x + \theta_1\right) \\ &\quad \left. + D_2 \left[ \exp\left\{\left(\frac{\omega}{2u} - P_1\right)x\right\} \cos\left(2\delta t - \theta_2 x + \theta_2\right) \right. \right. \\ &\quad \left. \left. - \exp\left\{2\left(\frac{\omega}{2u} - P_1\right)x\right\} \cos\left(2\delta t - 2\theta_2 x + \theta_2\right) \right] \right] \end{aligned} \quad (6)$$

$$z = i, \quad \left( \frac{P_1}{\theta_1} \right) = \left\{ \left( \sqrt{\frac{\omega}{2u}} + \frac{i}{u} \right)^2 \pm \left( \frac{\omega}{2u} \right)^2 \right\} / 2, \quad \left( \frac{P_2}{\theta_2} \right) = \left\{ \left( \sqrt{\frac{\omega}{2u}} + \frac{2i}{u} \right)^2 \pm \left( \frac{\omega}{2u} \right)^2 \right\} / 2$$

$$r = \frac{\pi}{T}, \quad \omega = \frac{5}{3} v_0 (< 0), \quad M = \frac{R_0 v_0}{2u} (> 0), \quad v_0: \text{等流流速}$$

$i$ : 河床勾配、 $D_0$ 、 $D_1$ 、 $D_2$ 、 $\theta_1$ 、 $\theta_2$ :  $\omega$ 、 $M$ 、 $t$  の関数

図-2 は  $R_0 = 1.219 \text{ (m)}$ 、 $v_0 = 0.82 \text{ (m/sec)}$  の流れを  $A_0 = 1 \text{ (m)}$ 、 $T = 1 \text{ (hr)}$  の波が越るとの第2次近似解( $(A_0^2/4R_0)$ ) $y_1$ と第2次近似解の和(下図)を示す。 $y_1$ の第1項は平均水面を、第2項はそれからの変動水位を表す。 $y_1$ の第1項および第2項は非振動項、第3項は基本振動項、第4項は倍振動項である。基本振動項がかなり大きいが、倍振動項も無視できない。図-3 は河口における波のビーカー時を基準とした各項のビーカーの遅れ角を示す。ここで、 $\delta_0 = \theta_1 x$ 、 $\delta_1 = \theta_2 x - \theta_1$ 。

Tohru KANDA, Yoshiaki HAMAMURA

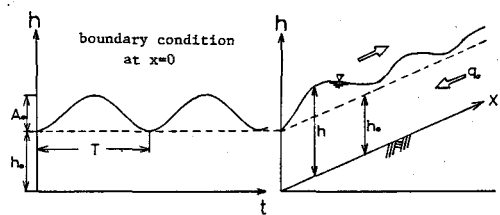


図-1 河道と境界条件

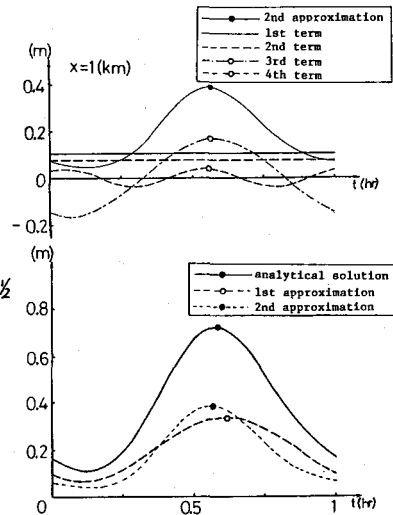


図-2 各項の時間変化

$\delta_2 = (\theta_2 x - \theta_2)/2$ ,  $\delta_3 = \theta_1 x - \theta_2/2$ 。図より、倍振動項の遅れ角  $\delta_2$  のみが他のそれに比べて小さく、上流にいくほどそれらの差が大きくなる。これが、河川逆上とともに波形の非対称性が増し、前面が急に、後面がゆるやかになるという波形変化をもたらすと考えられる。

4. 最高水位の伝播特性 上記の解析解によつて、最高水位の伝播における波の周期と河口振幅の影響について調べた。

(4)～(6)式より各項の位相のずれを無視すれば、河道に沿う最高水位は次式で表される。

$$\frac{4H_{max}}{A_0} = \frac{1}{2} y_{1max} + \frac{1}{4} \frac{d}{dx} y_{2max} \quad (7)$$

$$y_{1max} = \exp\left(\frac{\omega}{2u}x\right) - \exp\left\{-\left[\frac{\omega}{2u} - R\right]x\right\} \quad (8)$$

$$\begin{aligned} y_{2max} &= \frac{1}{8} \left[ \exp\left(\frac{\omega}{2u}x\right) - \exp\left(\frac{3\omega}{2u}x\right) + D_0 \left[ \exp\left(\frac{\omega}{2u}x\right) \right. \right. \\ &\quad \left. \left. - \exp\left\{2\left(\frac{\omega}{2u} - R\right)x\right\} + D_1 \left[ \exp\left\{\frac{\omega}{2u} - R\right]x\right] - \exp\left\{\frac{3\omega}{2u} - R\right]x\right\} \right] \\ &\quad + D_2 \left[ \exp\left\{\frac{\omega}{2u} - R\right]x\right] - \exp\left\{2\left(\frac{\omega}{2u} - R\right)x\right\} \end{aligned} \quad (9)$$

上流端での河川流量を一定とした場合、上式より  $y_{1max}$  や  $y_{2max}$  の値は波の周期のみに影響される。周期が非常に長い場合および非常に短い場合に、それをれば  $y_{1max}$  や  $y_{2max}$  が小さくなるため、両者の和が最大になるような波の周期が存在する。一方、相対波高が小さいほど最高水位の減衰が大きくなる。図-4はその計算結果を示す。

最高水位の伝播速度に関しては、倍振動項中の第1項が  $(2\pi/\theta_2)$  で表され、他の項はすべて  $(\pi/\theta_2)$  で表される。これらの値は、波の周期が短いほど大きく、また、図-3からもわかるように前者の方が後者よりも大きい。従って、波の周期が短いほど伝播速度は大きくなり、また、相対波高が大きいほど倍振動項の中の第1項が大きく影響し、伝播速度が大きくなるといえる。図-5は最高水位の生起時刻(河口の最高水位の生起時刻を  $t = 0$  とする)を下および  $A_0$  をパラメータとして表したものである。この図からも波の周期が短く、相対波高が大きいほど最高水位の生起時刻が早くなることがわかる。

5. あとがき 本文では2次近似解にもとづき高潮の河川逆上特性を調べたが、この解の精度については講演時に述べる。

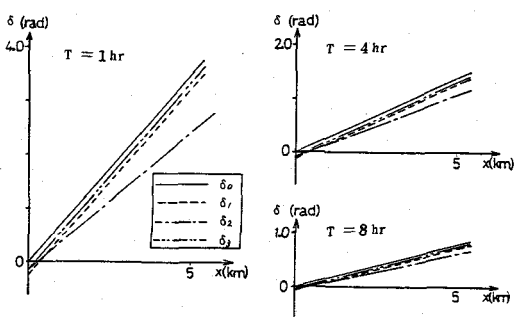


図-3 各項の遅れ角

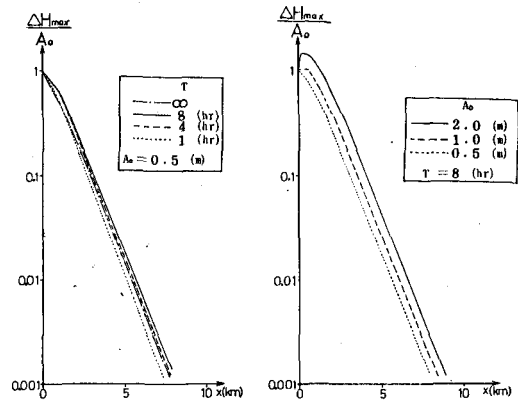


図-4 河道に沿う最高水位

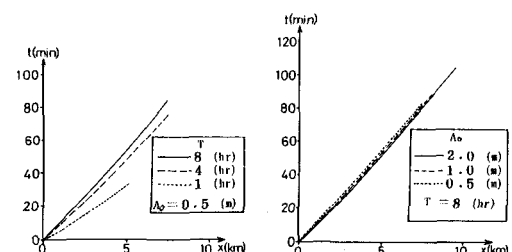


図-5 最高水位の伝播